



## آنالیز و رده‌بندی طیفی سنگ‌های آذرین و دگرگون منطقه‌ی همدان در جهت بررسی‌های سنجش از دور با استفاده از طیف‌سنجی بازتابی آزمایشگاهی (۳۵۰-۲۵۰۰ نانومتر)

کاظم رنگزمن<sup>۱</sup>، عادل ساکی<sup>۲\*</sup>، حسین حسن‌شاھی<sup>۱</sup>، برات مجردی<sup>۳</sup>

۱. گروه سنجش از دور و GIS، بخش زمین‌شناسی، دانشکده علوم زمین، دانشگاه شهید چمران، اهواز، ایران.

۲. بخش زمین‌شناسی، دانشکده علوم زمین، دانشگاه شهید چمران، اهواز، ایران.

۳. گروه نقشه‌برداری، دانشگاه شهید رجایی، تهران، ایران.

(دریافت مقاله: ۸۹/۸/۴، نسخه نهایی: ۹۰/۱/۲۱)

چکیده: روش‌های طیف‌سنجی بازتابی و ترکیب آن با داده‌های سنجش از دور ما را در امکان شناسایی و جدایش عوارض سطح زمین یاری می‌کند. بکارگیری این روش‌ها در شناسایی واحدهای سنگ‌شناختی به طور مستقل و بدون آگاهی از رفتار طیفی سنگ‌ها در طول موج‌های الکترو-مغناطیسی نمی‌تواند چندان ثمر بخش باشد. بر این اساس و برای دستیابی به هدف‌های این پژوهش، ۶۵ نمونه سنگ از توده‌ی الوند همدان و پیرامون آن جمع‌آوری شدند، و با استفاده از طیف‌سنج فیلیدسپیک ۳ (Fieldspec 3) در محیط آزمایشگاه مورد طیف‌سنجی قرار گرفتند. طیف‌های بازتابی حاصل بر اساس شکل و محل نواهی جذب پردازش شدند. آنالیزهای سنگ‌نگاری نیز در تفسیر چگونگی جذب نمونه‌های طیفی مورد استفاده قرار گرفتند و سرانجام طیف‌ها براساس الگوی نهایی طیفی رده‌بندی شدند. این سنجش هم سطوح تازه و هم درمورد سطوح بروزنزد انجام شد. جدا از چند نمونه جزئی، دو مجموعه طیف سطوح تازه و بروزنزد تغییر چشمگیری نداشتند. در پایان برای بررسی امکان تفکیک اهداف مورد نظر، طیف‌های نماینده با نواهی دو سنجنده‌ی فراتیفی و چندطیفی شبیه‌سازی و مقایسه شدند. بررسی نمودارهای طیفی شبیه‌سازی شده، شناسایی سنگ‌های منطقه مورد بررسی را که از بروزنزد خوبی برخوردار باشند با استفاده از سنجنده‌های با قدرت جدایش طیفی بالا مانند هایپریون (Hyperion) به درستی مقدور می‌سازد. همچنین به نظر می‌آید سنجنده‌ی استر (Aster) نیز برای شناسایی و جدایش گروه‌های اصلی سنگ‌های منطقه نتایج قابل قبولی را ارائه دهد.

واژه‌های کلیدی: طیف‌سنجی؛ فیلیدسپیک ۳؛ جذب؛ شبیه‌سازی؛ همدان.

که نماینده‌ی منحصر به فرد اشیاء و پدیده‌های مختلف‌اند، زمینه‌ای علمی برای تفسیر داده‌های طیفی در سنجش از دور فراهم کرده‌اند [۴، ۳]. برخی نیز با تشکیل بانک طیفی (Spectral Library) روی شبکه‌ی اینترنت، نتایج و داده‌های حاصل از طیف‌سنجی خود را برای بکارگیری در بررسی‌های دور‌سنجی مورد استفاده عموم قرار داده‌اند. (مانند بانک طیفی سازمان زمین‌شناسی آمریکا در [۵]).

### مقدمه

آگاهی درست و سامانمند رفتار پدیده‌ها در طول موج‌های مختلف به روش طیف‌سنجی بازتابی ما را در شناسایی و جدایش پدیده‌ها در داده‌های سنجش از دور باری می‌کند [۱، ۲]. پژوهشگران زیادی به بررسی طیف‌سنجی بازتابی چه در محیط آزمایشگاه و چه در محیط طبیعی پرداخته‌اند و با ثبت طیف پدیده‌های مختلف روی زمین در گستره‌ی مرئی - فروسرخ، به ویژه سنگ‌ها و کانی‌ها، و آنالیز دقیق این طیف‌ها

\* نویسنده مسئول، تلفن: ۰۶۱۳۳۳۱۰۵۹، پست الکترونیکی: Adel\_saki@scu.ac.ir

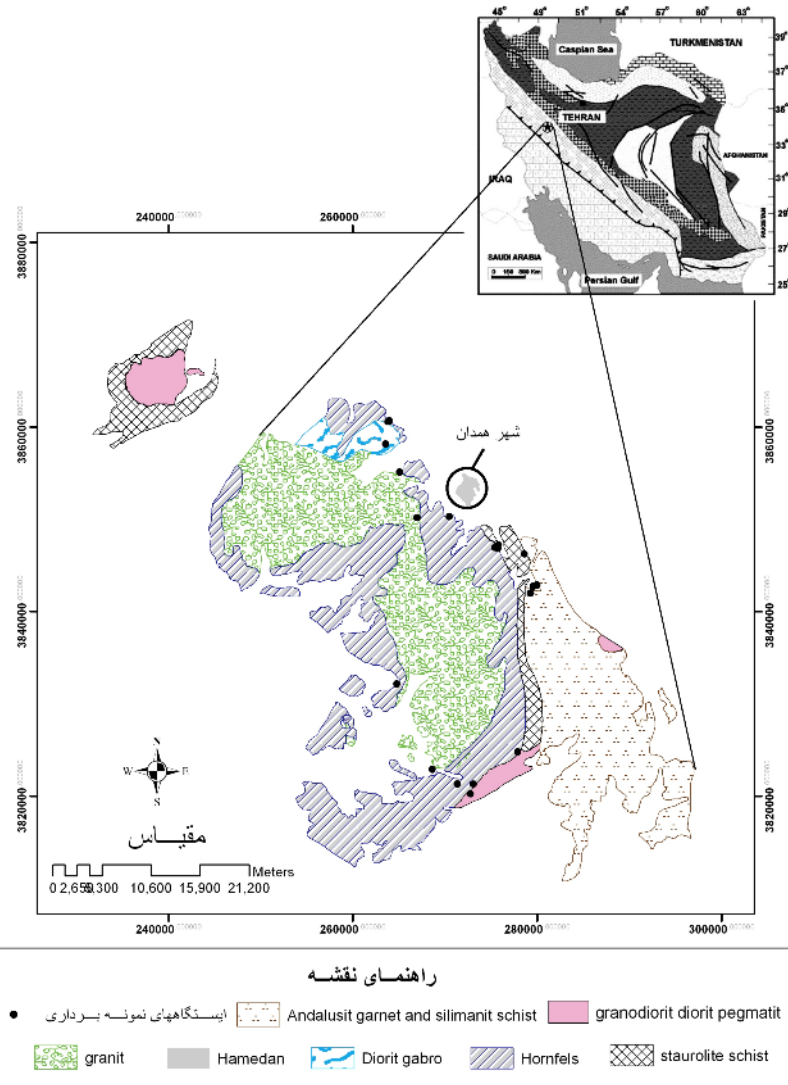
که تصاویر ترکیبی نوارهای لندست نیز شناسایی مقدماتی گروههای کلی سنگ را امکان‌پذیر می‌سازد [۸].

#### موقعیت جغرافیایی و زمین‌شناسی

منطقه‌ی مورد بررسی برای نمونه‌برداری، طیفسنجی و ردبهندی طیفی سنگ‌های آن برای شناسایی و جدایش در تصاویر ماهواره‌ای، منطقه‌ی توده‌ی الوند همدان در جنوب و جنوب غرب شهر همدان، بخشی از نوار دگرگونی موسوم به زون سندنج-سیرجان (در کمربنده کوه‌زایی زاگرس) است [۹، ۱۰] (شکل ۱). بررسی‌های صحرایی صورت گرفته برای نمونه‌برداری و بازدید میدانی حاکی از وجود رخنمون‌های سنگی گسترده‌ی همگن و بدون پوشش گیاهی بود که این پژوهش را معنی‌دار می‌کند.

روش‌های طیفسنجی برای شناسایی و جدایش کانی‌ها، سنگ‌ها و دگرسانی‌ها به صورت گستره‌ای در آنالیز و پردازش تصاویر فرآطبیفی به کار گرفته می‌شوند [۳، ۶، ۷].

اصول استفاده شده در این پژوهش براساس کار پژوهشی (۸) صورت گرفته است. این پژوهشگران با جمع‌آوری و طیفسنجی ۴۱ نمونه سنگ دگرگون از منطقه‌ی ماداگاسکار و ردبهندی طیفی و بررسی الگوهای جذبی آن‌ها، امکان آشکارسازی و جدایش سنگ‌ها را با استفاده از دو سنجنده‌ی فرآطبیفی MIVIS و AVIRIS و نیز سنجنده‌ی چندطبیفی لندست شبیه‌سازی کرده و به این نتیجه رسیدند که داده‌های با قدرت جدایش طیفی بالا قابلیت بالا بسیار خوبی در جداسازی سنگ‌های منطقه‌ی مورد بررسی دارند. همچنین نشان دادند



شکل ۱ زمین‌شناسی، ایستگاههای نمونه‌برداری و موقعیت منطقه مورد مطالعه در جنوب و جنوب غرب شهر همدان.

**گارنت-آندالوزیت-فیبرولیت هورنفلس (هورنفلس‌ها)** با نزدیک شدن به باتولیت الوند، پرفیروبلاست استارولیت هنوز پایدارند، ولی کردیریت از حاشیه ناپایدار شده و به گارنت + فیبرولیت تبدیل می‌شود. در آغاز این مرحله، کانی‌های کردیریت، گارنت و فیبرولیت در سنگ پایدارند، اما با نزدیکتر شدن به توده‌ی، کردیریت کاملاً حذف شده‌اند، و گارنت همراه با فیبرولیت و مقادیری بیوتیت و فلدسپار پتاسیم، قالب آن را بر می‌کنند گارنت و فیبرولیت، نخست فقط در حاشیه کردیریت و به جای کردیریت ظاهر می‌شوند، ولی با پیشرفت درجه‌ی دگرگونی، گارنت به صورت پراکنده و جزئی در زمینه‌ی سنگ نیز ظاهر می‌شوند. بیوتیت، مسکوویت، فلدسپار و کوارتز، کانی‌های اصلی سازنده‌ی زمینه و ایلمنیت، گرافیت و آپاتیت، کانی جزئی و فرعی هستند. بافت سنگ پرفیروگرانوبلاستیک است. لازم به یادآوری است که در بعضی نواحی علیرغم پیدایش فیبرولیت در این سنگ‌ها، استارولیت هنوز پایدار بوده و اثری از تبدیل آن دیده نمی‌شود. کیانیت به همراه استارولیت در این سنگ‌ها دیده می‌شود که گاه با چشم غیرمسلح نیز کاملاً قابل تشخیص است.

#### سنگ‌نگاری سنگ‌های آذرین

از نظر بافتی و مودی کانی‌ها، سنگ‌هایی که در منطقه خاستگاه آذرین دارند شامل گرانیت‌تؤید سفید تا خاکستری روشن‌اند که این گرانیت در حال حاضر به عنوان سنگ تزئینی برداشت می‌شوند، و در نقشه‌ی زمین‌شناسی زیر عنوان سنگ‌های آذرین معرفی شده‌اند.

این سنگ‌ها از کانی‌های با اندازه‌ی درشت (در مقیاس میلیمتر و بعضی کانی‌ها در حد سانتیمتر) تشکیل شده‌اند. سنگ‌ها در نمونه‌ی دستی سفید رنگ‌اند و از کانی‌های روشن تشکیل شده‌اند. از نظر مودی این کانی‌ها اغلب نمونه‌های گرانیت‌تؤیدی و به لویکوگرانیت تا مونزوگرانیت وابسته‌اند. این گرانیت‌تؤیدها در کنار شیست و هورنفلس قرار دارند و در اطراف این گرانیت‌تؤید هاله‌ی دگرگونی به خوبی دیده می‌شود. از نظر کانی‌شناسی از کانی‌های کوارتز، پلاژیوکلاز، فلدسپار پتاسیم، هورنبلنده و بیوتیت تشکیل شده‌اند. مسکوویت اولیه در این سنگ‌ها وجود های غالب مافیک هستند. مسکوویت اولیه در تیره کانی‌های فلزی ندارد و اسفن به فراوانی دیده می‌شود، مقدار کانی‌های تیره بیشتر از ۲۰ درصد نیست. بلورهای درشت کوارتز خاموشی موجی نشان می‌دهند و کانی‌های فلزی در این نوع گرانیت‌ها

به طور کلی سه دسته اصلی سنگ در منطقه‌ی همدان وجود دارند. سنگ‌های آذرین این مجموعه شامل سنگ‌های مافیک (گایبرو، الیوین گایبرو، گایبرو نوریت، دولریت)، حد واسطه (دولریت، کوارتز دیوریت، تونالیت، پگماتیت و آپلت) و تعدادی (گرانیت، گرانوکلریت، دیوریت)، میکرو دیوریت)، فلزیک (دیوریت، کوارتز دلریتی است. سنگ‌های مجموعه‌ی دیک دولریتی و کوارتز دلریتی ایجاد شده‌اند. سنگ‌های مجاورتی تشکیل شده‌اند [۱۱، ۱۲]. سنگ‌های دگرگونی ناحیه‌ای شامل قدیمی‌ترین تشکیلات زمین‌شناسی منطقه‌اند که اغلب، اسلیت، فیلیت و انواع شیست‌ها را در بر می‌گیرند. سنگ‌های دگرگونی مجاورتی شامل انواع شیست‌های لکه‌دار و هورنفلس‌ها، در پیرامون توده‌ی نفوذی الوند قرار دارند. هورنفلس شیست‌ها و هورنفلس‌ها تنوع زیادی داشته و از تأثیر دگرگونی مجاورتی بر سنگ‌های دگرگونی ناحیه‌ای حاصل شده‌اند [۱۳].

#### سنگ‌نگاری سنگ‌های رسی دگرگون شده اسلیت و فیلیت

بخش گستره‌ای از منطقه‌ی مورد بررسی با اسلیت و فیلیت در برگرفته شده است و به طور کلی همه‌ی سنگ‌های دگرگون درجه‌ی بالاتر، در بخش‌های مختلف، به اسلیت و فیلیت ختم می‌شوند. در صحرا، ریخت‌شناسی این سنگ‌ها ملایم و تپه ماهوری بوده و رنگ آنها سیاه تا مایل به سبزند. در بررسی میکروسکوپی کانی‌های کوارتز، میکای سفید، کلریت، فلدسپار پلاژیوکلاز و فلدسپارقلایی (مواد آلی و کانی‌های اکسیدی در اسلیت) دیده می‌شوند. کانی‌شناسی فیلیت کمی متفاوت است و در آنها بیوتیت ظاهر شده، میکای سفید به مسکوویت تکامل می‌یابد. بافت سنگ‌ها لیپدوبلاستیک و لیپدوبلاستیک است.

#### گارنت شیست

گسترش اصلی گارنت شیست‌ها در جنوب منطقه و بخشی نیز در شمال منطقه دیده می‌شود. ریخت‌نمایی ملایم و گاه صخره ساز از ویژگی‌های این سنگ‌های است. رنگ گارنت شیست سیاه بوده، در بررسی میکروسکوپی دارای گارنت، مسکوویت، بیوتیت، مواد آلی و مقدار کم پلاژیوکلاز، کلریت، روتیل و ایلمنیت هستند. کلریت ثانویه ناشی از تبدیل گارنت به صورت شبه‌ریخت پیرامون گارنت دیده می‌شود. بافت سنگ‌ها با توجه به حضور پرفیروبلاست گارنت، پرفیرو لیپدوبلاستیک و پرفیرو لیپدوبلاستیک است.

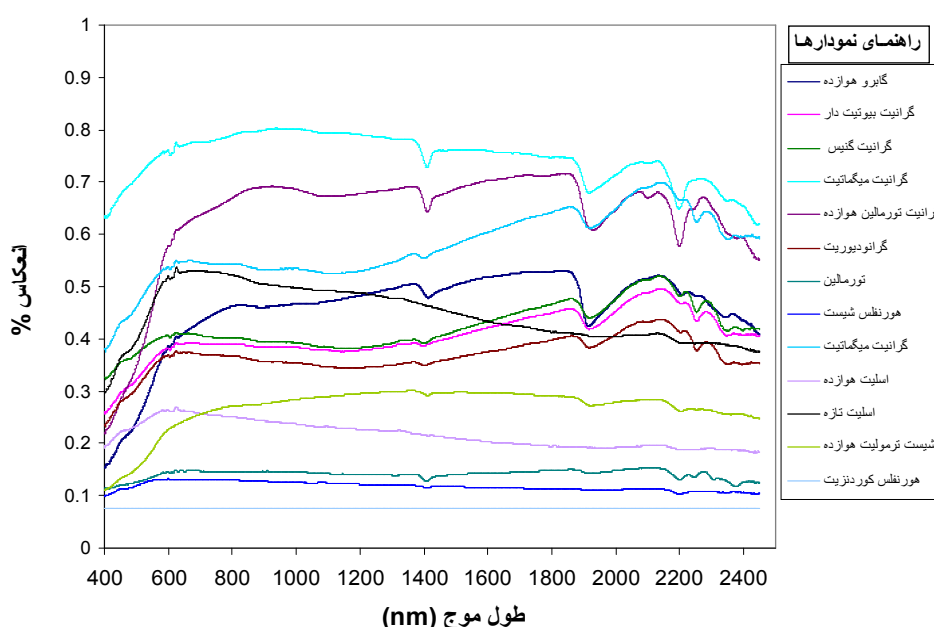
نرم افزار<sup>۳</sup> RS در محیط آزمایشگاهی اندازه‌گیری و ثبت شدن (طیف‌سنجدی نمونه‌های سنگ در آزمایشگاه طیف‌سنجدی گروه سنجدش از دور و با GIS دانشگاه شهید چمران اهواز صورت گرفت). سعی شد تا نمونه‌های سنگ مورد آزمایش حتی المقدور در ابعاد فیزیکی مناسب و به همان صورت که در برونزدها یافت شدن انتخاب شوند تا آثار خطای حاصل از تفاوت ابعاد فیزیکی سنگ‌ها روی طیف‌نها به حداقل برسد. عدم پیوستگی در طیف‌ها به خاطر نویز حاصل از گذار از آشکارسازهای بخش مرئی به بخش فروسرخ کوتاه ۱ و ۲ در طول موج‌های ۱۰۰۰ و ۱۸۰۰ نانومتر رخ داد که با نرم‌افزار SAMS نسخه‌ی ۳/۲ اصلاح شدند. برای پردازش، مقایسه‌ی سریع و تبدیل طیف‌ها از نرم افزار pro ViewSpec نسخه‌ی ۵ استفاده شد. نرم‌افزار ۲۰۰۳ Excel و نیز SAMS برای محاسبات آماری طیف‌ها به کار گرفته شدند (شکل ۲).

پس از این مرحله تعداد ۱۲ نمونه در آزمایشگاه کانادا آنالیز زئوشیمیابی سنگ شدن و عناصر اصلی، فرعی و کمیاب آن‌ها مشخص شدند. نمونه‌ها در آزمایشگاه تجاری اکمه در کانادا تجزیه شدند. عناصر اصلی به روش طیف‌سنجدی انتشار پلاسمای جفت شده‌ی القایی (ICP-ES)، عناصر جزئی و عناصر نادر خاکی به روش طیف‌سنجدی جرمی پلاسمای جفت شده‌ی القایی (ICP-MS) تجزیه شدند.

کم است. کانی پلازیوکلاز در این سنگ‌ها دارای رد پس نهشتی است این گرانیت‌ها معمولاً ساب سالووس به‌طوری که پلازیوکلاز و فلدسپار قلیایی به صورت مجرا از هم تشکیل شده‌اند. این سنگ‌ها معمولاً بافت دانه‌دار هیپیدیومورف دیده می‌شوند. پلازیوکلازها و بیوتیت‌ها در این سنگ‌ها بیشتر از یک‌میلی‌متر است و در بعضی نمونه‌ها به صورت پرفیروبلاست‌های بزرگ تا اندازه‌ی ۱۰ میلی‌متر دیده می‌شوند. این کانی‌ها در بعضی موقع به کانی‌های رسی تجزیه شده‌اند. فلدسپار قلیایی در این سنگ‌ها با ردی مشبک مشاهده می‌شود و به کانی‌های رسی تجزیه شده است. آمفیبیول بخوبی در این گرانیت‌ها دیده می‌شود. بررسی‌های صحرایی و سنگ‌نگاری این سنگ‌ها نشان می‌دهند که به گرانیت‌های نوع I شباht دارند و کانی اسفن در این سنگ‌ها دیده می‌شوند. گرانیتوئید در این محل هوازده نیستند.

#### مواد و روش‌ها (اندازه‌گیری داده‌های طیفی)

پس از بررسی‌های صحرایی و جمع آوری نمونه‌ها و انتقال آن‌ها به آزمایشگاه سنگ‌شناسی و طیف‌سنجدی دانشگاه شهید چمران اهواز، بازتاب‌های تابش نمونه‌های سنگ در گستره‌ی طیف‌مرئی - فروسرخ کوتاه (طول موج‌های ۳۵۰ تا ۲۵۰۰ نانومتر) با فواصل طول موجی ۱ نانومتر) با یک طیف‌سنج فیلدرسپک ۳

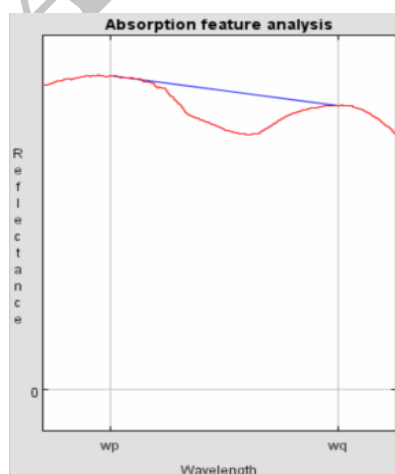


شکل ۲ نمودارهای طیفی اندازه‌گیری شده چند سنگ با دستگاه طیفسنج Fieldspec3 جهت مقایسه کلی طیف‌ها. (طیفسنجی در گروه سنجدش از دور و GIS دانشگاه شهید چمران اهواز انجام شده است).

باشند که هرکدام از آنها نشانگر محل و عمق وابسته به خود هستند (مانند HF) (شکل ۴). اهمیت و کشف این الگوها براساس بررسی‌های طیفسنجی صورت گرفته روی کانی‌ها و تلفیق این بررسی‌ها با آنالیزهای سنگ‌شناسی و شیمیابی بنا شده است. در نتیجه‌ی هر الگو به فرایند فیزیکی خاصی در یون، مولکول، یا گروه عناصر در کانی‌های مشخص وابسته است [۸]. جدول ۱ فرایندهای مولکولی و الکترونی که عامل الگوهای جذب مشاهده شده در طیف‌های سنگ‌ها در گستره‌ی بازتابی را به صورت خلاصه ارائه می‌کند.

مرسوم‌ترین نوارهای جذبی کانی‌ها در گستره‌ی طول موج‌های  $4/0\text{--}2/5$  میکرومتر، ناشی از یون‌های آهن فریک ( $\text{Fe}^{3+}$ ) و فرو ( $\text{Fe}^{2+}$ ) در آهن اکسیدها و سیلیکات‌های مافیک، یون  $\text{OH}^{-1}$  در هیدروکسیدها و رس‌ها،  $\text{H}_2\text{O}$  در کانی‌های آبدار، یون  $\text{CO}_3^{2-}$  در کربنات‌ها و یون  $\text{SO}_4^{2-}$  سولفات‌ها در کانی‌های سولفاتی است. اختلاف موجود در طیف‌های کانی‌های سیلیکاتی، کربناتی، سولفیدی و سولفاتی در گستره‌ی طول موج‌های  $0/4\text{--}2/5$  تا  $5\text{--}14$  میکرومتر را می‌توان برای نقشه‌برداری ترکیبی در دورسنجی چندطیفی به کار گرفت. برخی کانی‌ها مشخص‌تر از دیگر کانی‌ها هستند، ولی در صورتی که نوارهای طیفی کافی در این گستره‌ی طول موج‌ها در دسترس باشد، بسیاری از کانی‌ها یا تقریباً همهی آن‌ها را می‌توان به طور جداگانه تشخیص داد [۱۶].

الگوهای جذب معمولاً با هم ترکیب شده تا سرشتی‌های گروههای نمونه را با دقت و جدا از هم ارائه دهند که از این ترکیب‌ها در آنالیز و بررسی نمودارها به عنوان گونه‌های طیفی یا "الگوهای طیفی نهایی" یاد می‌شود (شکل ۵).



ب) محاسبه میزان جذب

**بحث و بررسی آنالیز و طبقه‌بندی طیف‌های سنگ**  
براساس بررسی [۱۴]، تحلیل و توصیف منحنی‌های طیفی بر پایه‌ی پارامترهای زیر صورت گرفت:

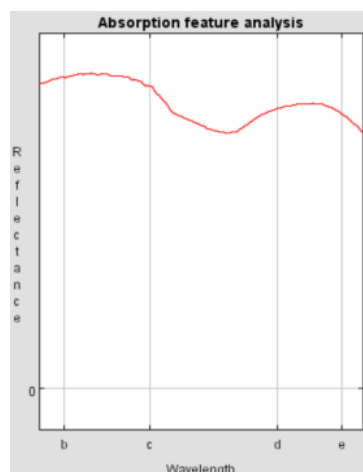
- ۱- محل طول موج کمترین میزان بازتاب در نوارهای جذبی
- ۲- عمق، عرض، مساحت و عدم تقارن نوارها، و ۳- محل تغییرات شبیه و نقاط پرش در منحنی. این پارامترها به عنوان "ساختارهای جذب" در نظر گرفته شدند.

ساختارهای جذب در طیف نمونه‌ی سنگ‌ها با نرم‌افزار SAMS نسخه‌ی ۳.۲ مورد بررسی قرار گرفت و الگوریتم آنالیز شکل‌های جذب (Absorption feature analysis)، که میزان جذب هر نوار را با توجه به مساحت زیر منحنی محاسبه می‌کند روی طیف‌ها اعمال شد.

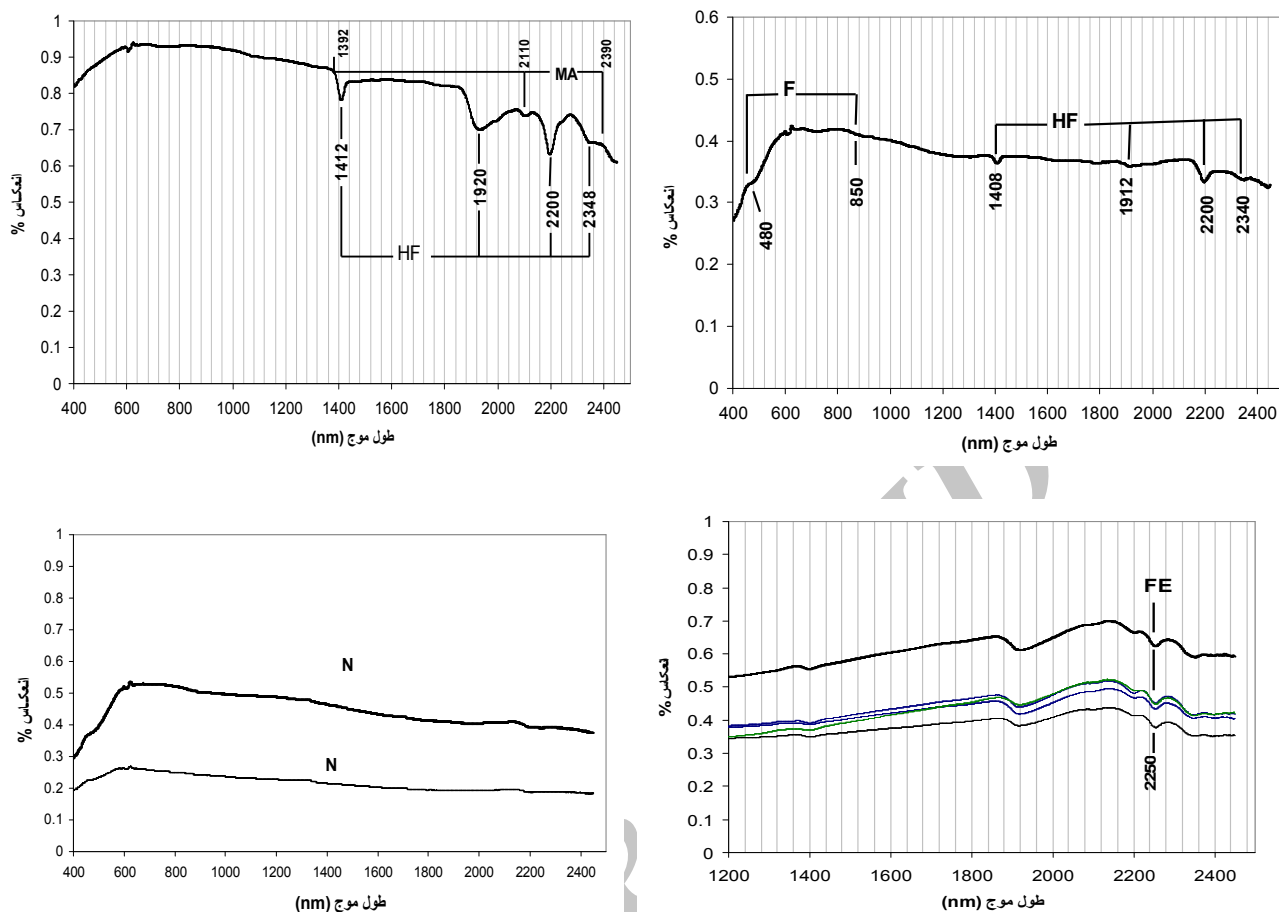
**محاسبه میزان جذب الگوهای جذبی**  
با استفاده از الگوریتم آنالیز شکل‌های جذب در نرم افزار SAMS، میزان جذب در طول موج خاصی در یک طیف محاسبه شد این الگوریتم با مشخص بودن دو بازه‌ی طول موج [d,e] و [b,c]، چنان‌که در شکل ۳ دیده می‌شود، نخست طول موجی که در بازه‌های مشخص شده بیشترین بازتاب در آن‌ها رخ داده بود انتخاب شده (wp در [b,c] و wq در [d,e])، و سرانجام میزان جذب را با استفاده از فرمول زیر محاسبه کردیم. [۱۵]

$$\text{مساحت زیر پاره خطی} = \frac{1}{2}(\text{Wp} - \text{Wq})(\text{Wq} - \text{Wp})$$

(شکل ۳ الف، ب) کند/مساحت زیر نمودار  $A_i = 1 - \frac{1}{2}(\text{Wp} - \text{Wq})(\text{Wq} - \text{Wp})$  که به طور سیستماتیک در طیف‌ها رخ می‌دهند را الگوهای جذب می‌نامند. این الگوها ممکن است از یک نوار جذبی تشکیل شده باشد (مانند Fe) و یا اغلب از گروههایی از نوارها



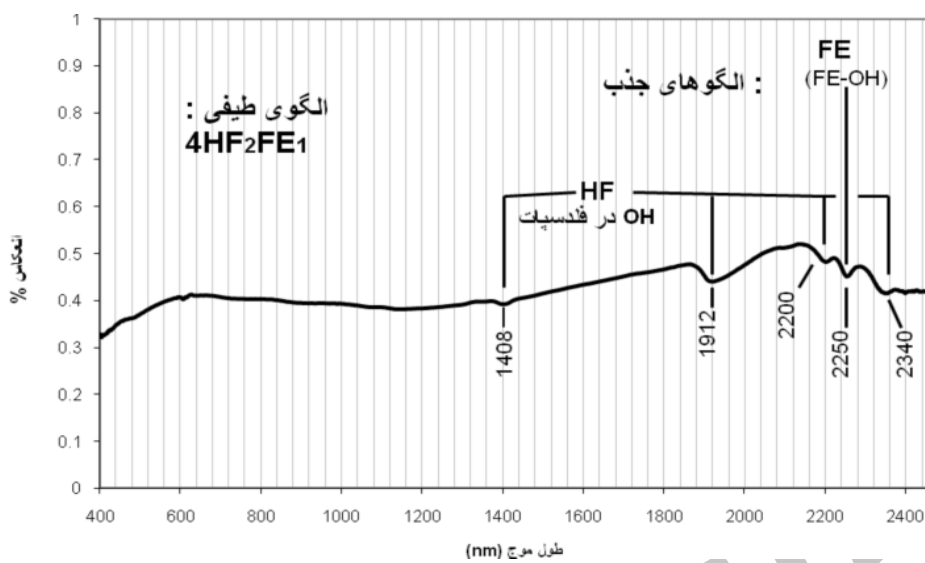
شکل ۳ (الف) مشخص کردن دو بازه طول موج



شکل ۴ اغلب الگوهای جذبی مشخص و مشاهده شده در طیف‌های انعکاسی سنگ‌های منطقه مورد مطالعه (برای شرح الگوهای جذبی مراجعه کنید).

جدول ۱ الگوهای جذب طیفی و فرایندهای فعل و انفعالی در طول موج های مرئی - مادون قرمز کوتاه [۸].

| الگوی جذب | طول موج های جذبی                                 | فرایندهای فعل و انفعالی در طول موج های جذبی                               |
|-----------|--|---|
| F         | ۸۵۰, ۱۲۰۰-۴۲۰, ۴۳۰-۴۸۰, ۵۰۰-۶۸۰, ۶۵۰             | اثرات میدان بلور $\text{Fe}^{+3}/\text{Fe}^{+2}$ در اکسیدها و هیدروکسیدها |
| L         | ۶۸۰  | انتقال بار- $\pi$ - $\pi$ در کلروفیل                                      |
| CA        | ۲۲۳۴, ۲۳۳۶-۱۷۵۲, ۱۷۶۰-۱۸۸۰-۱۹۹۰, ۱۹۹۸-۲۱۵۶, ۲۱۶۰ | حالت‌های ارتعاشی $\text{CO}_3^{2-}$ در کلسیت                              |
| CD        | ۲۳۱۶, ۲۳۱۸-۱۷۴۰, ۱۸۶۰-۱۹۷۰, ۱۹۷۸-۲۱۲۶, ۲۱۴۰      | حالت‌های ارتعاشی $\text{CO}_3^{2-}$ در دولومیت                            |
| CI        | ۲۲۳۶, ۲۳۳۶                                       | حالت‌های ارتعاشی $\text{CO}_3^{2-}$ در کلسیت - دولومیت                    |
| HE        | ۱۵۴۰-۱۸۲۸  | حالت‌های ارتعاشی $\text{OH}^-$ در اپیدوت                                  |
| HF        | ۱۹۱۲-۱۴۰۸-۲۲۰۰-۲۳۴۰-۲۴۳۲                         | ارتعاش $\text{H}_2\text{O}$ و $\text{OH}^-$ در فلدسپات‌ها                 |
| HFc       | ۱۹۱۲-۱۴۰۸-۲۲۴۸-۲۲۵۶-۲۱۸۸                         | ارتعاش $\text{H}_2\text{O}$ و $\text{OH}^-$ در فلدسپات‌های کلسیم‌دار      |
| AM        | ۲۲۰۰-۱۴۰۴-۲۳۴۴-۲۴۲۸-۲۱۲۰ (۱۹۰۴)                  | حالت‌های ارتعاشی $\text{AL-OH}$ و $\text{OH}^-$ در مسکویت                 |
| AK        | ۱۳۹۲-۱۴۰۸-۲۱۶۰-۲۲۰۰-۲۳۰۸-۲۳۷۲                    | ارتعاش $\text{OH}^-$ و $\text{AL-OH}$ در کانولینیت                        |
| MA        | ۲۳۰۸-۲۳۸۸-۱۳۹۲-۲۱۱۶-(۲۴۶۸)                       | ارتعاش $\text{Mg-OH}$ در آمفیبیول‌ها                                      |
| Fe        | ۲۲۵۰   | ارتعاش $\text{Fe-OH}$ در اپیدوت‌ها، بیوتیت، تورمالین، کلرایت و فلوگپیت    |
| N         |  | طیف صاف و تقریباً بدون جذب  |



شکل ۵ طیف انعکاسی با الگوهای جذب، الگوی طیفی و فرایندهای جذبی موثر در شکل گیری الگوهای طیفی.

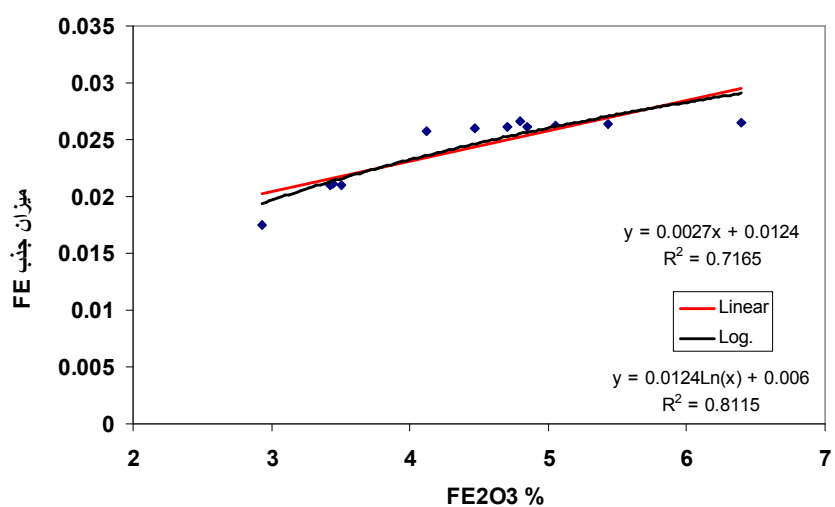
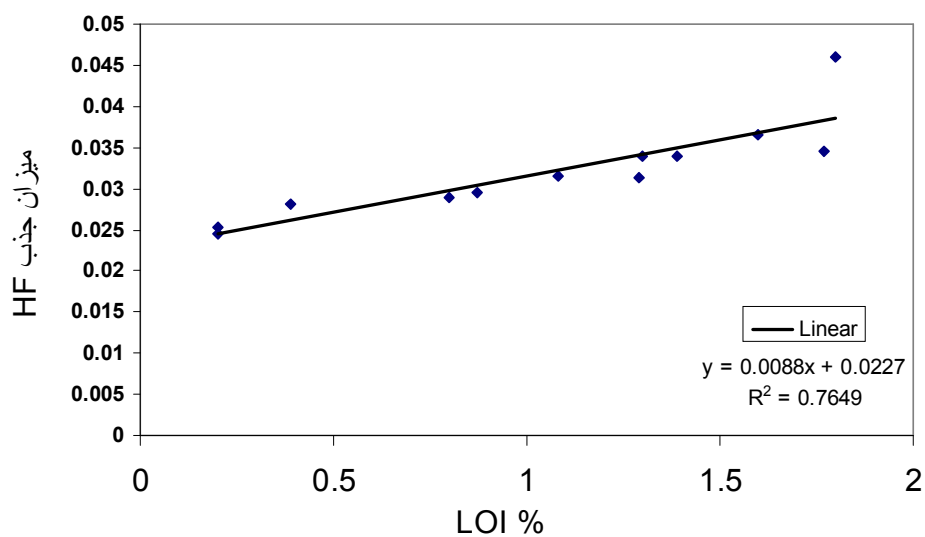
(یا میزان کل شاره‌های درون نمونه) برگزیده شدند تا بین این دو و دو الگوی جذبی غالب در این پژوهش یعنی F<sup>-</sup> و HF (جدول ۱) ارتباط معنی‌داری را پیدا کنیم. میزان جذب الگوی طیفی HF و نیز میزان جذب الگوی طیفی Fe برای همان نمونه‌ها محاسبه شدند (جدول شماره ۲) و سرانجام بین میزان Fe<sub>2</sub>O<sub>3</sub> و الگوی طیفی Fe ارتباط وایازی خطی معنی‌داری با LOI = 0.71 و لگاریتمی R<sup>2</sup> = 0.81 مشاهده شد. بین میزان (کل شاره‌های داخل نمونه) و الگوی جذبی طیفی HF نیز ارتباط وایازی خطی با R<sup>2</sup> = 0.76 برقرار بود. (شکل ۶ و ۷)

ارتباط بین میزان الگوهای جذب و آنالیزهای ژئوشیمیایی سنگ‌ها از کانی‌ها تشکیل شده‌اند، بنابراین طیف بازتابی یک سنگ را می‌توان از ایجاد یک ترکیب خطی از طیف‌های بازتابایی اجزای کانیایی سنگ و وزن دهی به آن‌ها بر اساس درصد جرمی کانی مورد نظر در سنگ، برآورد کرد. هنگامی که سنگ‌ها تقریباً تک کانیایی باشند، طیف بازتابی آن‌ها در گستره‌ی طول موج‌های ۲ تا ۲۵ میکرومتر شباهت زیادی به طیف کانی اصلی آن‌ها دارد [۱۶].

تعداد ۱۲ نمونه سنگ آنالیز ژئوشیمیایی شدند، و از میان عناصر و فاكتورهای این آنالیز، میزان Fe<sub>2</sub>O<sub>3</sub> و نیز میزان LOI

جدول ۲ آنالیز ژئوشیمیایی و الگوهای جذب طیفی ۱۲ نمونه سنگ.

| نمونه | میزان جذب الگوی طیفی Fe | میزان جذب الگوی طیفی HF | میزان جذب الگوی طیفی | نمونه | نمونه       |
|-------|-------------------------|-------------------------|----------------------|-------|-------------|
| ۱     | ۰.۰۲۶۱۵                 | ۰.۰۳۶۵۲۵                | ۴.۸۵                 | ۱     | گرانودیوریت |
| ۲     | ۰.۰۲۶۳۹                 | ۰.۰۳۴۵۳۷                | ۵.۴۳                 | ۲     | گرانودیوریت |
| ۳     | ۰.۰۲۶۳                  | ۰.۰۳۱۴۶۸                | ۵.۰۵                 | ۳     | گرانودیوریت |
| ۴     | ۰.۰۲۶۴۵                 | ۰.۰۲۸۸۹۲                | ۶.۴                  | ۴     | گرانودیوریت |
| ۱     | ۰.۰۲۶۶۵                 | ۰.۰۴۶۰۱۷                | ۴.۸                  | ۱     | گرانیت گنیس |
| ۲     | ۰.۰۲۵۷۸۴                | ۰.۰۲۸۱۵۵                | ۴.۱۲                 | ۲     | گرانیت گنیس |
| ۳     | ۰.۰۲۶۰۶                 | ۰.۰۲۵۳۶۴                | ۴.۴۷                 | ۳     | گرانیت گنیس |
| ۴     | ۰.۰۲۶۱۷                 | ۰.۰۲۹۹۴۵                | ۴.۷۱                 | ۴     | گرانیت گنیس |
| ۱     | ۰.۰۰۰۲۱                 | ۰.۰۳۱۲۲۱                | ۲.۵۱                 |       | گرانیت      |
| ۲     | ۰.۰۱۷۵۵۵                | ۰.۰۰۳۴                  | ۲.۹۳                 |       | گرانیت      |
| ۳     | ۰.۰۲۰۹۷۸                | ۰.۰۳۳۸۷۹                | ۲.۴۲                 |       | گرانیت      |
| ۴     | ۰.۰۲۱۱۱۲                | ۰.۰۲۴۴۸۹                | ۲.۴۴                 |       | گرانیت      |

شکل ۶ ارتباط بین میزان  $\text{Fe}_2\text{O}_3$  موجود در نمونه سنگ و میزان جذب الگوی طیفی FE

شکل ۷ ارتباط بین میزان کل سیالات (LOI) داخل نمونه سنگ و میزان جذب الگوی طیفی HF.

بازتاب به صورت رده‌های با قدرت بازتاب در ۵ گروه رده‌بندی شدند. میزان جذب الگوی HF از صفر تا هشت درصد در سه گروه و میزان جذب الگوی Fe در دو گروه رده‌بندی شدند. (جدول ۳)

براین اساس چگونگی ارائه الگوهای طیفی برای رده‌بندی سنگ‌ها بدین صورت است که نخست عدد وابسته به رده‌ی با قدرت بازتاب سپس الگوی جذبی که بیشترین شدت را دارد همراه با رده وابسته به همین ترتیب آورده می‌شوند. بر این اساس نمونه‌های سنگ منطقه در ۱۸ رده‌ی طیفی رده‌بندی شدند (جدول ۴).

رده بندی طیفی و اهمیت سنگ‌شناسی در این رده بندی ۱۸ الگوی طیفی از طیف بازتابی نمونه‌های سنگ تازه و بروونزد برداشت و شناسایی شدند. از آنجایی که نمونه‌های سنگ منطقه فقط از چند الگوی محدود و مشخص (مثل Fe و HF) پیروی کرده و حاکی از ترکیب‌های کانیایی و ساختار یکسانی بودند این رده‌بندی طیفی تقریباً با رده‌بندی سنگ‌شناسخانه همخوانی داشت و گروه‌های کلی سنگ شامل دو گروه گرانیت، گروه هورنفلس و هورنفلس شیست و گروه اسلیت را در بر گرفت.

بر اساس محاسبات آماری رده‌های با قدرت بازتاب بر اساس بازتاب کلی طیفها از حداقل ۷ درصد و حداقل ۸۵ درصد

جدول ۳ کلاس‌های آلبدو، میزان جذب الگوی HF و میزان جذب الگوی Fe

| کلاس آلبدو | میزان انعکاس | کلاس Fe | میزان جذب | کلاس HF | میزان جذب | کلاس آلبدو | میزان جذب |
|------------|--------------|---------|-----------|---------|-----------|------------|-----------|
| <۱۰%       | ۱            | ۰       | <۰۰۷-۰۰۲  | ۰       | <۰۰۷-۰۰۲  | ۰          | <۰۰۴-۰۰۲  |
| ۱۰-۲۵٪     | ۲            | ۱       | ۰۰۷-۰۰۲   | ۱       | ۰۰۷-۰۱۱   | ۱          | ۰۰۴-۰۰۲   |
| ۲۵-۴۵٪     | ۳            | ۲       | ۰۱۱-۰۲۷   |         |           |            | ۰۰۴-      |
| ۳۵-۴۵٪     | ۴            |         |           |         |           |            |           |

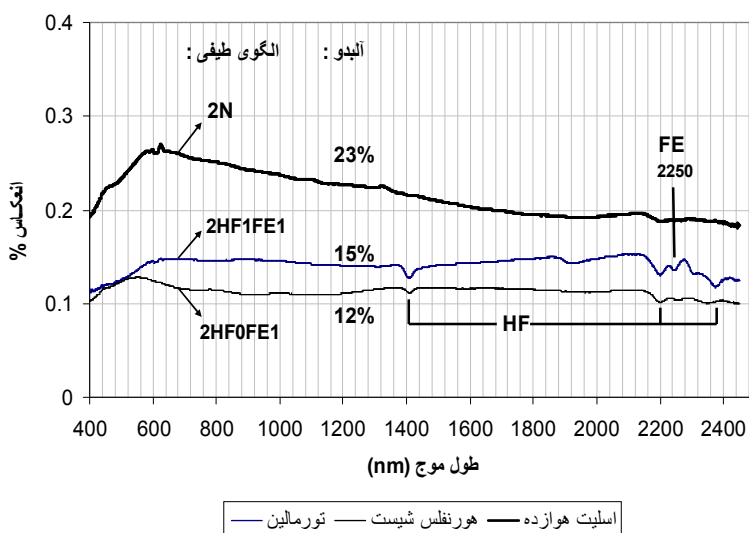
جدول ۴ کلاس‌های طیفی نماینده نمونه‌های سنگ آذرین و دگرگون منطقه همدان.

| شماره نمونه | نام نمونه                  | الگوی طیفی | الگوی جذب | ۱   | الگوی جذب | ۲      | الگوی جذب | ۳    | الگوی جذب | ۴       | HF  | میزان جذب | کلاس آلبدو | میزان جذب | کلاس HF | میزان جذب | انعکاس کلی % | HF | میزان جذب | Fe | میزان جذب | کلاس آلبدو | میزان جذب | کلاس | میزان جذب | میزان جذب |
|-------------|----------------------------|------------|-----------|-----|-----------|--------|-----------|------|-----------|---------|-----|-----------|------------|-----------|---------|-----------|--------------|----|-----------|----|-----------|------------|-----------|------|-----------|-----------|
| ۱           | گرانیت غیر هوازده          | FeO        | 5HF2FeO   | HF2 | ۵         | ۰۰۰۶   | ۰۰۵۳      | ۰۰۵۹ | FeO       | 5HF2FeO | HF2 | ۰۰۰۷      | <۰۰۲       | ۰         | ۰۰۲-۰۰۴ | >۰۰۴      |              |    |           |    |           |            |           |      |           |           |
| ۲           | گرانیت تورمالین هوازده     | FeO        | 5HF2FeO   | HF2 | ۵         | ۰۰۰۴   | ۰۰۵۷      | ۰۰۶۴ | FeO       | 5HF2FeO | HF2 | ۰۰۰۷      | <۰۰۲-۰۰۴   | ۰         | ۰۰۲-۰۰۴ | <۰۰۲      |              |    |           |    |           |            |           |      |           |           |
| ۳           | گرانیت تورمالین غیر هوازده | 5HF2MA     | MA        | HF2 | ۵         | -۰۰۰۱  | ۰۰۴۵      | ۰۰۸۳ |           | 5HF2MA  | HF2 |           | <۰۰۲-۰۰۴   | ۰         | ۰۰۲-۰۰۴ | <۰۰۲      |              |    |           |    |           |            |           |      |           |           |
| ۴           | پگماتیت بدون تورمالین      | 5HF2       |           | HF2 | ۵         | -۰۰۰۰۶ | ۰۰۵۱      | ۰۰۶۵ |           | 5HF2    |     |           | <۰۰۲-۰۰۴   | ۰         | ۰۰۲-۰۰۴ | <۰۰۲      |              |    |           |    |           |            |           |      |           |           |
| ۵           | گرانیت میگماتیت ۱          | 5HF1       |           | HF1 | ۵         | -۰۰۰۰۶ | ۰۰۳۳      | ۰۰۷۴ |           | 5HF1    |     |           | <۰۰۲-۰۰۴   | ۰         | ۰۰۲-۰۰۴ | <۰۰۲      |              |    |           |    |           |            |           |      |           |           |
| ۶           | گرانیت میگماتیت ۲          | 5HF1Fe1    | Fe1       | HF1 | ۵         | ۰۰۱۷   | ۰۰۳۸      | ۰۰۵۸ |           | 5HF1Fe1 | HF1 |           | <۰۰۲-۰۰۴   | ۰         | ۰۰۲-۰۰۴ | <۰۰۲      |              |    |           |    |           |            |           |      |           |           |
| ۷           | گرانیت بیوتیت دار          | 4HF2Fe1    | Fe1       | HF2 | ۴         | ۰۰۲۱   | ۰۰۴۸      | ۰۰۴  |           | 4HF2Fe1 | HF2 |           | <۰۰۲-۰۰۴   | ۰         | ۰۰۲-۰۰۴ | <۰۰۲      |              |    |           |    |           |            |           |      |           |           |
| ۸           | گرانیت گنیس                | 4HF2Fe1    | Fe1       | HF2 | ۴         | ۰۰۲۷   | ۰۰۴۶      | ۰۰۴۲ |           | 4HF2Fe1 | HF2 |           | <۰۰۲-۰۰۴   | ۰         | ۰۰۲-۰۰۴ | <۰۰۲      |              |    |           |    |           |            |           |      |           |           |
| ۹           | گابرو هوازده               | 4HF2FeO    | FeO       | HF2 | ۴         | ۰۰۰۲   | ۰۰۷۹      | ۰۰۴۴ |           | 4HF2FeO | HF2 |           | <۰۰۲-۰۰۴   | ۰         | ۰۰۲-۰۰۴ | <۰۰۲      |              |    |           |    |           |            |           |      |           |           |
| ۱۰          | گرانیت هوازده              | 4HF2       |           | HF2 | ۴         | ۰۰۰۱   | ۰۰۶       | ۰۰۳۸ |           | 4HF2    | HF2 |           | <۰۰۲-۰۰۴   | ۰         | ۰۰۲-۰۰۴ | <۰۰۲      |              |    |           |    |           |            |           |      |           |           |
| ۱۱          | گرانودیوریت                | 4HF1Fe1    | Fe1       | HF1 | ۴         | ۰۰۲۶   | ۰۰۳۴      | ۰۰۳۷ |           | 4HF1Fe1 | HF1 |           | <۰۰۲-۰۰۴   | ۰         | ۰۰۲-۰۰۴ | <۰۰۲      |              |    |           |    |           |            |           |      |           |           |
| ۱۲          | شیست هوازده                | 4HF        |           | HFO | ۴         | ۰۰۰۰۷  | ۰۰۱۱      | ۰۰۳۸ |           | 4HF     |     |           | <۰۰۲-۰۰۴   | ۰         | ۰۰۲-۰۰۴ | <۰۰۲      |              |    |           |    |           |            |           |      |           |           |
| ۱۳          | شیست غیر هوازده            | 3HF1       |           | HF1 | ۳         | ۰۰۰۱   | ۰۰۴۲      | ۰۰۲۸ |           | 3HF1    |     |           | <۰۰۲-۰۰۴   | ۰         | ۰۰۲-۰۰۴ | <۰۰۲      |              |    |           |    |           |            |           |      |           |           |
| ۱۴          | شیست ترمولیت هوازده        | 3HFO       |           | HFO | ۳         | ۰۰۰۰۹  | ۰۰۱۸      | ۰۰۲۸ |           | 3HFO    |     |           | <۰۰۲-۰۰۴   | ۰         | ۰۰۲-۰۰۴ | <۰۰۲      |              |    |           |    |           |            |           |      |           |           |
| ۱۵          | هورنفلس شیست هوازده        | 2HFFeO1    | Fe1       | HFO | ۲         | ۰۰۱۱   | ۰۰۱۲      | ۰۰۱۲ |           | 2HFFeO1 | HFO |           | <۰۰۲-۰۰۴   | ۰         | ۰۰۲-۰۰۴ | <۰۰۲      |              |    |           |    |           |            |           |      |           |           |
| ۱۶          | هورنفلس گارنت              | 2HF0FeO    | FeO       | HFO | ۲         | ۰۰۰۶   | ۰۰۱۵      | ۰۰۱۸ |           | 2HF0FeO | HFO |           | <۰۰۲-۰۰۴   | ۰         | ۰۰۲-۰۰۴ | <۰۰۲      |              |    |           |    |           |            |           |      |           |           |
| ۱۷          | اسلیت هوازده               | 2N         |           |     | ۲         | ۰۰۰۱   | ۰۰۰۹      | ۰۰۲۲ |           | 2N      |     |           | <۰۰۲-۰۰۴   | ۰         | ۰۰۲-۰۰۴ | <۰۰۲      |              |    |           |    |           |            |           |      |           |           |
| ۱۸          | هورنفلس شیست غیر هوازده    | 1N         |           |     | ۱         | ۰      | ۰۰۹       |      | 1N        |         |     |           | <۰۰۲-۰۰۴   | ۰         | ۰۰۲-۰۰۴ | <۰۰۲      |              |    |           |    |           |            |           |      |           |           |

فرایندهایی که در طول آخرین مراحل زمین‌شناسی روی سنگ تاثیر گذاشته است می‌شوند. با توجه به اینکه در بررسی‌های سنجش از دور، رخنمون‌های سنگی که در دید سنجنده قرار می‌گیرند موضوع شناسایی هستند، بنابراین باید طیف حاصل از نمونه‌های در معرض هوا قرارگرفته را ملاک قرارداد تا با بررسی طیف سطوح تازه و طیف سطوح در معرض هوا قرار گرفته را که دقیقاً از یک نوع هستند، و مقایسه‌ی تفاوت رفتار طیفی آن‌دو بتوان میزان هوازدهگی، دگرسانی یا دگرگونی برونزدهای منطقه‌ی همدان را به درستی بررسی کرد [۸].

نکته قابل توجهی که در مورد مقایسه‌ی سه نمودار اسلیت هوازده، هورنفلس شیست و تورمالین توجه ما را به خود جلب کردند این است که سه نمونه در رده‌ی با قدرت بازتاب ۲ قرار گرفتند و در کل بازتاب بسیار ضعیفی نسبت به دیگر سنگ‌ها از خود نشان می‌دهند (شکل ۲) و در مقایسه با اسلیت هوازده، اگرچه دو نمونه دیگر از بازتاب کلی ضعیفتری برخوردارند، ولی الگوهای جذب به خوبی خود را نشان داده و میزان جذب آن‌ها نیز با دقت محاسبه شد. در صورتی که اسلیت الگوی جذب قابل توجهی از خود نشان نمی‌داد. (شکل ۸).

مقایسه‌ی سطوح سنگ ناهوазده و سطوح برونزد هوازده طیف‌های سطوح هوازده، ویژگی‌های کانی‌های اصلی سنگ و



شکل ۸ مقایسه طیفها با توجه به الگوهای جذب، الگوی طیفی، کلاس آلبتو و شدت جذب.

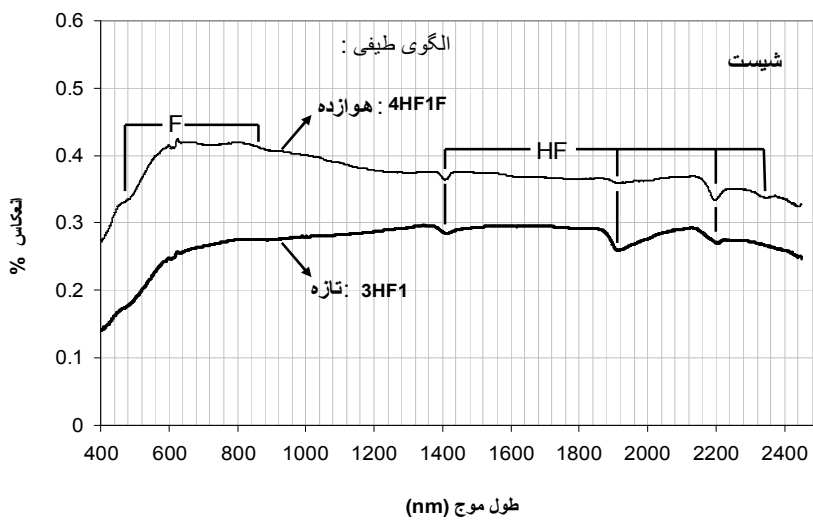
بنابراین برای بیشتر سطوح برونزد، فرایندهای هوازدگی تغییر قابل توجهی در الگوهای غالب طیفهای سطوح برونزد در مقایسه با سطوح تازه ایجاد نکرده است (شکل ۹). نکته قابل توجهی که در مقایسه دو مجموعه طیف در گروههای سنگ مشاهده شد این بود که در گروه سنگهایی مثل گرانیت که فرایندهای هوازدگی آن از قدرت بازتاب کلی بالایی برخوردار است، فرایندهای هوازدگی با تشکیل پوشش روی آنها از قدرت بازتاب کلی کاسته و بر عکس در مورد سنگهایی مثل شیست و اسلیت که تیره‌ترند و از قدرت بازتاب بسیار کمتری برخوردارند فرایندهای هوازدگی با تشکیل پوشش رسی، قدرت بازتاب کلی را در نوع هوازدگی افزایش داده است. با مقایسه دو نمودار گرانیت تازه و هوازده، در وهله اول به این نتیجه می‌رسیم که همانطور که مشخص است، نمونه‌ی تازه آن از بازتابی نسبتاً بالایی برخوردار است در حالیکه در نمونه‌ی برونزد هوازده میزان بازتاب تقریباً ۲۰ درصد کاهش یافته است و نمودار به ویژه در بخش مرئی (۴۰۰-۷۰۰ نانومتر) مسطح شده و آن جهش بزرگ که در نمودار نوع تازه مشاهده می‌شود یکنواخت و هموار شده است. نوارها و الگوهای جذبی، به جز تغییر بسیار جزئی در عمق جذب، تقریباً مشابه‌اند و نشان از این دارد که فرایندهای هوازدگی در سنگهای منطقه، در اینجا گرانیت، اثر چندان جدی و اساسی که ساختار آنها را به کلی دگرگون کند رخ نداده است. (شکل ۲ و ۹)

بررسی و مقایسه‌ی طیفهای سطوح تازه و هوازدهی منطقه‌ی همدان نشان از این داشت که اگرچه هوازدگی روی آنها معلوم است، ولی پوشش دگرسان چندانی زیادی روی آنها شکل نگرفته است. جز در چند نمونه‌ی محدود که به خاطر فرایندهای اکسایش، الگوی طیفی را کمی تغییر داده و یا به خاطر تغییر بافت یا تشکیل پوشش رسی، به طور کلی میزان بازتاب را در گروهی از سنگ‌ها افزایش و در گروهی دیگر کاهش داده بودند، دو مجموعه طیف تغییر قابل چشمگیری نداشتند. به‌طور کلی تغییرات غالب و جزئی به‌خاطر ساختارهای جدید و افزوده شده، به خاطر یون‌های آهن (Ferrous ion و Ferric Hydroxyle) و گروه آب، به وجود آمده‌اند (جدول ۱). این الگوها و شکل‌های وابسته به حضور وجود اکسیدهای آهن، هیدروکسیدها و کانی‌های رسی (Clay) است و در برخی موارد به همراه جذب‌های سیانوباتکریا<sup>۱</sup> به وجود می‌آیند. این فرایندها تغییرات و تنوع بالاتری در سطوح تازه ایجاد می‌کنند. تفاوت‌های مهمی که می‌توانند بین سطوح تازه و هوازده مشاهده شوند، با کائولینیزاسیون<sup>۲</sup> فلدسپارها بوجود می‌آیند که الگوهای طیفی اصلی را به صورت یک ماسک کامل می‌پوشاند. در مجموعه‌ی نمونه‌ها، تغییرات پراکنده‌ای نیز در طیف هوازده با بازتاب بیشتر دیده می‌شود که به قانون بیر-لامبرت<sup>۳</sup> وابسته است [۸].

1 - Cyanobacteria

2 - Kaolinization

3 - Beer-Lambert



شکل ۹ مقایسه الگوهای جذب، الگوهای طیفی و میزان آلبدوی کلی در طیف‌های دو سنگ شیست تازه و هوازده.

متر در گستره‌ی فروسرخ گرمایی. هر صحنه از چارچوب استر گستره‌ای به بزرگی  $60 \times 60$  کیلومتر مربع را می‌پوشاند (اطلاعات بیشتر در [۱۸، ۱۹]).

این شبیه‌سازی و تطابق صورت گرفت تا امکان شناسایی و تفکیک سنگ‌ها براساس الگوهای طیفی اصلی [۸] که در این پژوهش مشخص شد در تصاویر فراتصیفی و چندطیفی ارزیابی شود.

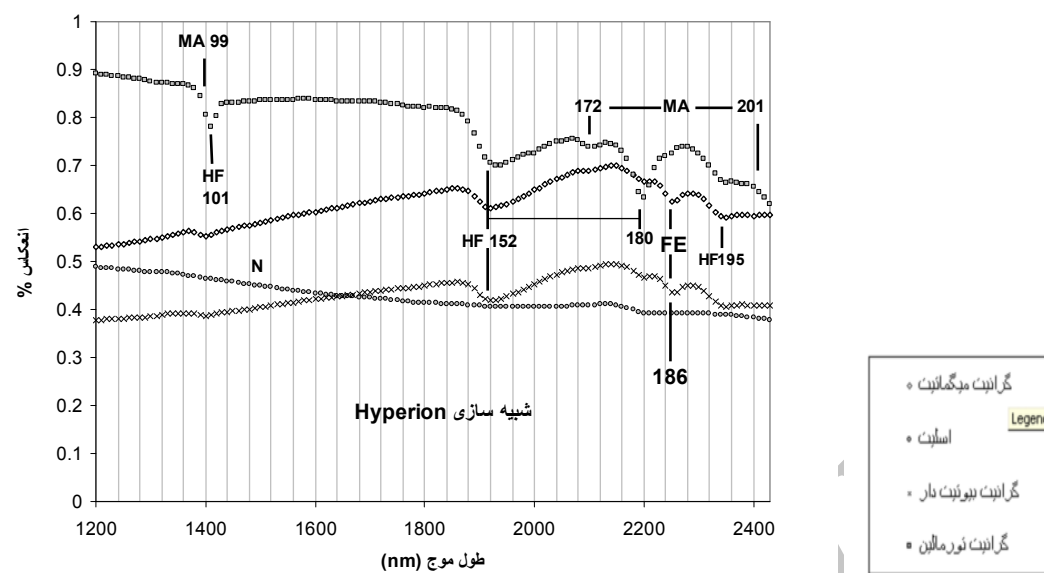
شکل ۱۰ قابلیت سنجنده هایپریون در نمایان کردن الگوهای جذبی غالب چند نوع سنگ را نشان می‌دهد چنان‌که در منحنی طیفی دیده می‌شود، الگوی جذبی HF خود را در نوارهای ۱۰۱، ۱۵۲، ۱۸۰ و ۱۹۵ به خوبی نشان می‌دهد. الگوی MA نیز با جذب قابل توجهی خود را در نوارهای ۹۹، ۱۷۲ و ۲۰۱ حفظ کرده است. Fe نیز در نوار ۱۸۶ دیده می‌شود.

شکل ۱۱ نمودارهای طیفی دو نوع سنگ گرانودیبوریت و گرانیت تورمالین را نشان می‌دهد این شکل شامل نمودار طیفی ثبت شده با طیف سنج فیلدرسپک ۳ با فواصل نواری ۱ نانومتر و شبیه‌سازی همان دو طیف بر اساس سنجنده هایپریون با فواصل نواری ۱۰ نانومتر و نیز شبیه‌سازی براساس نوارهای سنجنده استر است. طول موج‌های جذب الگوی HF در ۱۴۱۰، ۱۹۱۲، ۲۲۰۰ و ۲۳۴۰ نانومتر در شکل نشان داده شدند. چنان‌که دیده می‌شود، الگوی HF و بهخصوص در مورد گرانودیبوریت در گستره‌ی گستردگی و عمیقی که نوارهای ۱۰۱، ۱۵۲ و ۱۸۰ روشن‌ترین آن است، در داده‌های هایپریون ثبت خواهد شد و از این اختلاف شدت جذب در این نوارها و به کارگیری کل منحنی طیفی می‌توان با دقت بیشتری آن‌دو را

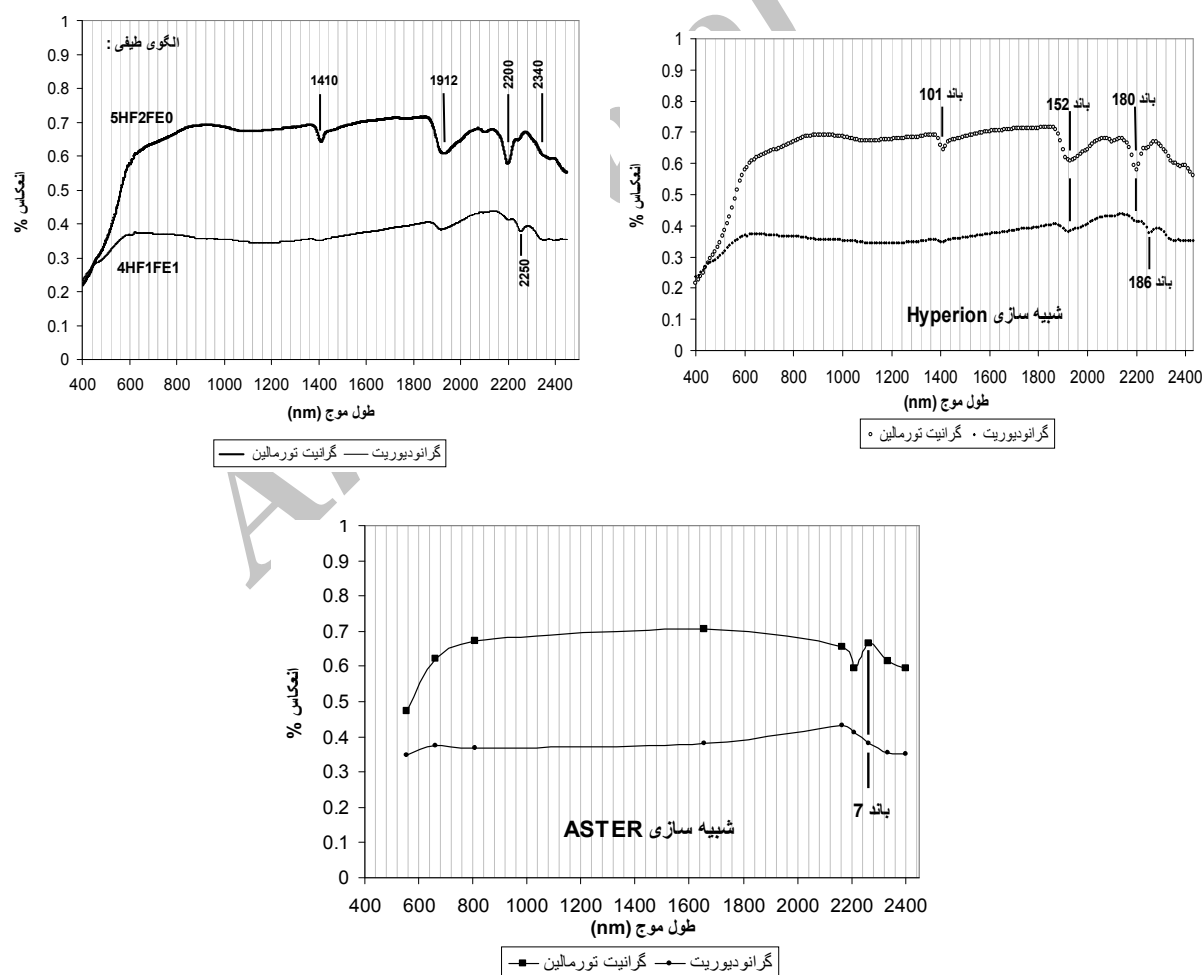
ارتباط بین الگوهای طیفی آزمایشگاهی و شبیه‌سازی طیف‌ها بر اساس نوارهای سنجنده‌های فراتصیفی و چندطیفی رده‌بندی سنگ‌ها براساس الگوهای طیفی، ویژگی‌های طیفی غالب در یک نوع سنگ یا گروهی از سنگ‌ها را مشخص می‌کند. چنین رده‌بندی طیفی با طبیعت سنجنده‌های دورسنج سازگاری دارد و می‌تواند با پیش‌بینی واکنش آشکارسازهای طیفسنج، تفکیک در پردازش داده‌های سنجش از دور را امکان‌پذیر سازد. این همخوانی و شبیه‌سازی نیز برای بررسی الگوهای طیفی در سطوح هوازده علاوه بر سطوح تازه می‌تواند صورت گیرد تا احتمال و روش شناسایی و تمایز این گروه از سنگ‌ها در تصاویر فراتصیفی و چند طیفی ارزیابی شود [۸]. برای دست‌یابی به این هدف، داده‌های طیفی ثبت شده با طیف سنج آزمایشگاهی براساس عملکرد آشکارسازهای دوسنجنده، یکی با قدرت تفکیک طیفی بالا و دیگری با قدرت تفکیک طیفی پایین شبیه‌سازی شد.

سنجنده‌ی هایپریون یک طیفسنج تصویری با تفکیک زمینی ۳۰ متر و عرض تصویر ۷/۷ کیلومتر با فواصل نواری ۱۰ نانومتر، طیف بازتابی خورشید را در گستره‌ی ۴۰۰ تا ۲۵۰۰ نانومتر می‌تواند ثبت کند. اطلاعات بیشتر در [۱۷].

ماهواره‌ی استر سنجنده‌ی چندطیفی پیشرفته‌ای است که ناحیه‌ی طیفی گستردگی را با ۱۴ نوار از ناحیه‌ی مرئی تا فروسرخ گرمایی با قدرت تفکیک فضایی، طیفی و رادیومتری قابل قبولی را می‌پوشاند. از این ۱۴ نوار، ۹ نوار در گستره مورد سنجش و شبیه‌سازی ما قرار می‌گیرد. تفکیک فضایی آن نسبت به طول موج متفاوت است: ۱۵ متر در گستره‌ی مرئی - فروسرخ نزدیک، ۳۰ متر در گستره‌ی فروسرخ کوتاه، و ۹۰



شکل ۱۰ شبیه سازی طیف های چند نمونه سنگ برونز بر اساس عملکرد سنجنده فراتیفی Hyperion



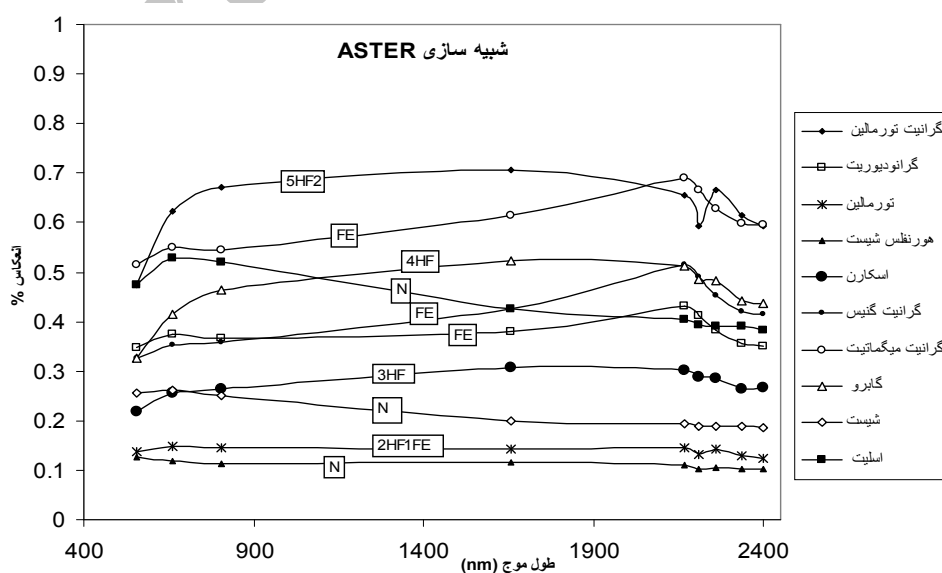
شکل ۱۱ مقایسه طیف آزمایشگاهی با شبیه سازی همان طیفها بر اساس دو سنجنده فراتیفی و چند طیفی.

شناسایی و تفکیک کرد. الگوها و شکل ساختارهای جذبی، بخصوص ملاحظه‌ی قدرت بازتاب کلی، ویژگی‌های گروههای مختلف و متفاوت را مشخص می‌کند و این شبیه سازی‌ها و همخوانی طیف‌ها بر اساس عملکرد سنجنده‌ها کمک می‌کند تا متفاوت طیفی گروههای سنگ را برای شناسایی و تفسیر در تصاویر بکار بندیم [۸]. این گروههای سنگ بنابر شکل ۱۲ و نیز جدول رده‌بندی طیفی (جدول شماره ۴) می‌توانند شامل موارد زیر باشند:

- گروه اول: سنگ‌های گرانیتی که از قدرت بازتاب آبدوی کلی بالایی برخوردارند و الگوی جذبی HF نیز در نوار ۶ رخ می‌دهد.
- گروه دوم: سنگ‌های گرانیتی آهن‌دار که از قدرت بازتاب کلی بالایی برخوردارند و الگوی جذبی HF و Fe در نوار ۶ و ۷ رخ می‌دهند.
- گروه سوم: سنگ‌های اسلیت که از قدرت بازتاب متوسط به پائینی برخوردارند و هیچگونه نوار جذبی ندارند (الگوی N)
- هورنفلس و هورنفلس شیست‌ها که از قدرت بازتاب کلی پائینی برخوردارند و الگوهای جذبی نیز در آن‌ها رخ می‌دهد. البته با بررسی دقیق‌تر نمودارهای طیفی، یافتن روابط و الگوهای خاص برای محاسبات آماری نیز می‌توان استفاده کرد. از طرف دیگر خود این طیف‌ها را نیز در الگوریتم‌های رده‌بندی به کار گرفت [۲۰].

شناسایی کرد، حال آنکه در مورد استر و در همان طول موج‌ها به خاطر عدم سنجش یا به خاطر نوارهای عریض، الگوی HF را فقط در یک نوار (نوار ۶) آن هم با اختلاف اندک جذب حفظ کرده و شناسایی و تفکیک این دو سنگ را در این طول موج‌ها مقدور نمی‌سازد ولی الگوی Fe در نوار سنگ‌های آهن‌دار در مقایسه با سنگ‌های مشابه که فاقد آن هستند و از بازتاب بیشتری در نوار ۷ سنجنده استر برخوردارند خود را به صورت قابل قبولی نمایان می‌کند و در دیگر طول موج‌ها منحنی تقریباً صافی به دست می‌آید و به نظر می‌رسد که نسبت نواری ۲ و ۱، ۷ و ۵ و نیز ملاحظه قدرت بازتاب کلی بازتاب، ملاک‌های خوبی برای شناسایی و تفکیک این دو نمونه سنگ در تصاویر استر باشند.

شبیه‌سازی استر چند نمونه الگوی طیفی در شکل ۱۲ نشان داده شده‌اند. این شبیه سازی و همخوانی، پتانسیل حسگرهای استر را برای بررسی تفاوت الگوهای طیف‌های سنگ‌های منطقه را نشان می‌دهد چنان‌که در شکل دیده می‌شود، این نمودارها نشان دهنده‌ی خاصیت‌های طیفی چند نوع سنگ نمایندگانند. اگرچه این شبیه‌سازی محل دقیق تمام نوارهای جذب را حفظ نکرده است ولی ساختارهای جذب به ویژه در نوار ۶ و ۷ به علت تراکم نواری در این گستره‌ی طول موج، اختلاف نوارهای جذبی منحنی برخی از سنگ‌ها را حفظ کرده و با ملاحظه اختلاف کلی قدرت بازتاب، انتخاب نوارهای مناسب و محاسبه‌ی نسبت‌های نواری، برخی از گروههای سنگ را می‌توان



شکل ۱۲ شبیه سازی Aster طیف چند نمونه از گروههای سنگ منطقه همدان جهت بررسی امکان تفکیک توسط این سنجنده.

جدول ۴ رده‌های طیفی نماینده نمونه‌های سنگ آذرین و دگرگون منطقه همدان.

| شماره نمونه | نام نمونه                 | الگوی طیفی الگوی جذب ۲ | الگوی جذب ۱ | کلاس آلدو | میزان جذب Fe | HF    | میکاس کلی٪ |
|-------------|---------------------------|------------------------|-------------|-----------|--------------|-------|------------|
| ۱           | گرانیت غیر هوازده         | FeO                    | HF2         | ۵         | ۰,۰۰۶        | ۰,۰۵۳ | ۰,۵۹       |
| ۲           | گرانیت تورمالین هوازده    | FeO                    | HF2         | ۵         | ۰,۰۰۴        | ۰,۰۵۷ | ۰,۶۴       |
| ۳           | گرانیت تورمالین غیرهوازده | MA                     | HF2         | ۵         | -۰,۰۰۱       | ۰,۰۴۵ | ۰,۸۳       |
| ۴           | پگماتیت بدون تورمالین     | 5HF2                   | HF2         | ۵         | -۰,۰۰۰۶      | ۰,۰۵۱ | ۰,۶۵       |
| ۵           | گرانیت میگماتیت ۱         | 5HF1                   | HF1         | ۵         | -۰,۰۰۰۶      | ۰,۰۳۳ | ۰,۷۴       |
| ۶           | گرانیت میگماتیت ۲         | 5HF1Fe1                | HF1         | ۵         | ۰,۰۱۷        | ۰,۰۳۸ | ۰,۵۸       |
| ۷           | گرانیت پیوتیت دار         | 4HF2Fe1                | HF2         | ۴         | ۰,۰۲۱        | ۰,۰۴۸ | ۰,۴        |
| ۸           | گرانیت گنیس               | 4HF2Fe1                | HF2         | ۴         | ۰,۰۲۷        | ۰,۰۴۶ | ۰,۴۲       |
| ۹           | گابرو هوازده              | 4HF2FeO                | HF2         | ۴         | ۰,۰۰۲        | ۰,۰۷۹ | ۰,۴۴       |
| ۱۰          | گرانیت هوازده             | 4HF2                   | HF2         | ۴         | ۰,۰۰۱        | ۰,۰۶  | ۰,۳۸       |
| ۱۱          | گرانودیوریت               | 4HF1Fe1                | HF1         | ۴         | ۰,۰۲۶        | ۰,۰۳۴ | ۰,۳۷       |
| ۱۲          | شیست هوازده               | 4HF                    | HFO         | ۴         | ۰,۰۰۷        | ۰,۰۱۱ | ۰,۳۸       |
| ۱۳          | شیست غیرهوازده            | 3HF1                   | HF1         | ۳         | ۰,۰۰۱        | ۰,۰۴۲ | ۰,۲۸       |
| ۱۴          | شیست ترمولیت هوازده       | 3HFO                   | HFO         | ۳         | ۰,۰۰۹        | ۰,۰۱۸ | ۰,۲۸       |
| ۱۵          | هورنفلس شیست هوازده       | 2HFFeO1                | HFO         | ۲         | ۰,۰۱۱        | ۰,۰۱۲ | ۰,۱۲       |
| ۱۶          | هورنفلس گارنت             | 2HF0FeO                | HFO         | ۲         | ۰,۰۰۶        | ۰,۰۱۵ | ۰,۱۸       |
| ۱۷          | اسلیت هوازده              | 2N                     |             | ۲         | ۰,۰۰۱        | ۰,۰۰۹ | ۰,۲۲       |
| ۱۸          | هورنفلس شیست غیرهوازده    | 1N                     |             | ۱         | ۰,۰          | ۰,۰۹  | ۰,۰۹       |

فراطیفی و چند طیفی، قابلیت آن دو مورد بررسی و مقایسه شدند. نتایج حاکی از حفظ الگوهای جذب به خاطر نوارهای باریک و درنتیجه حفظ الگوی نهایی طیفی در سنجدندهای با قدرت طیفی بالا مثل هایپریون است که قطعاً ما را در آشکارسازی و شناسایی سنگ‌ها با استفاده از تعیین محل دقیق طول موج‌ها توانمند می‌کند. در مقابل سنجدنده استر به خاطر نوارهای پهن و در نتیجه قدرت تفکیک طیفی بسیار ضعیف در مقایسه با نوع قبلی، شکل نوارهای جذب را به درستی حفظ نکرده و الگوهای جذب در طیف نهایی محو شدند. به هر حال

#### برداشت

این کار پژوهشی برای بررسی و مقایسه‌ی الگوها و روابط طیفی سنگ‌های منطقه همدان با استفاده از فیلدسپک ۳ به منظور آنالیز، گروه بندی و تفکیک این عوارض در داده‌های ماهواره‌ای صورت گرفت. با تفسیر نمودارهای طیفی سنگ‌ها و الگوهای جذب در ناحیه‌ی طول موج مرئی- فروسرخ کوتاه و ارتباط نوارهای جذب به ساختار و ترکیب‌های سنگ، نمودار طیفی آن‌ها با هم مقایسه شدند و در رده‌های طیفی مشخصی قرار گرفتند و با شبیه‌سازی داده‌ها بر اساس دو سنجدنده قرار گرفتند و با شبیه‌سازی داده‌ها بر اساس دو سنجدنده

[8] Longhi I., Sgavetti M., Chiari R., Mazzaoli C., "Spectral analysis and classification of metamorphic rocks from laboratory reflectance spectra in the 0.4-2.5  $\mu\text{m}$  interval: a tool for hyperspectral data interpretation", Taylor & Francis Ltd. INT. J. REMOTE SENSING. 22(2001) 3763-3782.

[9] Mohajjal M., Fergusson C.L., "Dextral transpression in Late Cretaceous continental collision, Sandandaj-Sirjan Zone, western Iran", J. Struct. Geo. 22(2000) 1125-1139.

[10] Mohajjal M., Fergusson C.L., Sahandi M.R., "Cretaceous-Tertiary convergence and continental collision, Sanandaj-Sirjan Zone, western Iran", J. Asian Earth Sci. 21(2003) 397-412.

[۱۱] سپاهی گروه، "پترولوزی مجموعه پتوونیک الوند با نگرشی ویژه بر گرانیت‌وئیدها"، رساله دکتری(۱۳۷۸)، دانشگاه تربیت معلم تهران، گروه زمین‌شناسی.

[۱۲] بهاری فرع، معین وزیری ح، "بحثی در مورد منشا و محیط زمین‌شناسخی گرانیت‌وئیدهای ایران با تکیه بر مثالهای از محور سندج-سیرجان"، مجموعه مقالات چهارمین همایش سالانه انجمن زمین‌شناسی ایران(۱۳۷۹)، تبریز، ص ۵۴۱-۵۳۹

[۱۳] صادقیان م، "بررسی پترولوزی سنگ‌های آذرین و دگرگونی منطقه چشمه قصابان همدان"، پایان نامه کارشناسی ارشد (۱۳۷۳)، دانشگاه تهران، گروه زمین‌شناسی.

[14] Grove C.I., Hook S.J., Paylor E.D., "Laboratory reflectance spectra of 160 minerals, 0.4 to 2.0 micrometers", JPL Publication, (Pasadena, California: Jet propulsion Laboratory), (1992), 92-102.

[15] Rueda C.A., Wrpnna A.F., "SAMS (Spectral Analysis and Management System) User's Manual", Center for Spatial Technologies and Remote Sensing Department of Land, Air, and Water Resources University of California, Davis, Version 2.0 (2003) 21-22.

[16] Vincent R.K., Rowan L.C., Gillespie R.E., C. Knapp, "Thermal-Infrared spectra and chemical

محدودیت اصلی در استفاده از تصاویر استر، آشکارسازی فقط تعداد محدودی از گروههای کلی سنگ است و تمایز جزئیات با تشخیص محل دقیق طول موج ها و نواهای جذبی امکان پذیر نیست. این کار پژوهشی می‌تواند اساس پژوهش‌های دیگر در زمینه‌ی دورسنجی و نیز نواحی مشابه قرار گیرد.

#### قدرتمند

نویسنده‌گان مقاله کمال سپاسگزاری و تشکر را از سردبیر محترم مجله جناب آقای دکتر تجبر، هیات تحریریه و داوران محترم دارند. نظرهای ایشان سبب بهبود سطح علمی مقاله شده است.

#### مراجع

- [1] Hunt G.R., Salisbury J.W., "Visible and near-infrared spectra of minerals and rocks: XII. Metamorphic rocks", Modern Geology 5(1976) 219-228.
- [2] Salisbury J., Walter W., Louis S., Vergo Norma, "Availability of a library of infrared (2.1-25.0 pm) mineral spectra", American Mineralogist 74(1989) 938-939.
- [3] Clark R.N., "Spectroscopy of Rocks and Minerals; and Principles of Spectroscopy", Manual of Remote Sensing. Remote Sensing for the Earth Sciences, (A.N. Rencz, ed.) John Wiley and Sons, New York, 3(1999) 3- 58.
- [4] Salvi S., Mazzarini F., Doumaz F., "Spectral Reflectance measurements of geological materials in northern Victoria Land, Antarctica", AIT Informa, Rivista Italiana di Telerilevamento 23(2001) 45-54.
- [5] <http://speclab.cr.usgs.gov/>
- [6] Povarennykh A.S., "The use of infrared spectra for the determination of minerals", American Mineralogist 63( 1987) 956-959.
- [7] Kruse F.A., A.B. Lefkoff, J.W. Boardman, K.B. Heidebrecht, A.T. Shapiro, P.J. Barloon, A.F. H. Goetz, "the Spectral Image Processing System(SIPS) – Interactive Visualization and Analysis of Imaging Spectrometer Data", REMOTE SENS. ENVIRON 44(1993)145-163.

[۲۰] حسن‌شاهی حسین، رنگزن کاظم، ساکی عادل، مجردی برات، آنالیز و شبیه‌سازی طیفی سنگ‌های منطقه همدان با استفاده از دستگاه طیفسنج زمینی *Fieldspec3*؛ ابزاری برای مطالعات دورسنجی، مجموعه مقالات هفدهمین همایش ژئوماتیک ایران (۱۳۸۹)، تهران، سازمان نقشه‌برداری کشور. ۱۰ صفحه.

*analyses of twenty-six igneous rock samples", Remote Sensing of Environment 4(1975) 199-209.*

[17] <http://eo.usgs.gov/>

[18] Abrams M., Hook S., "ASTER User Handbook", Version 2, NASA/Jet Propulsion Laboratory, Pasadena, (1998) 6-10.

[19] <http://asterweb.jpl.nasa.gov/>